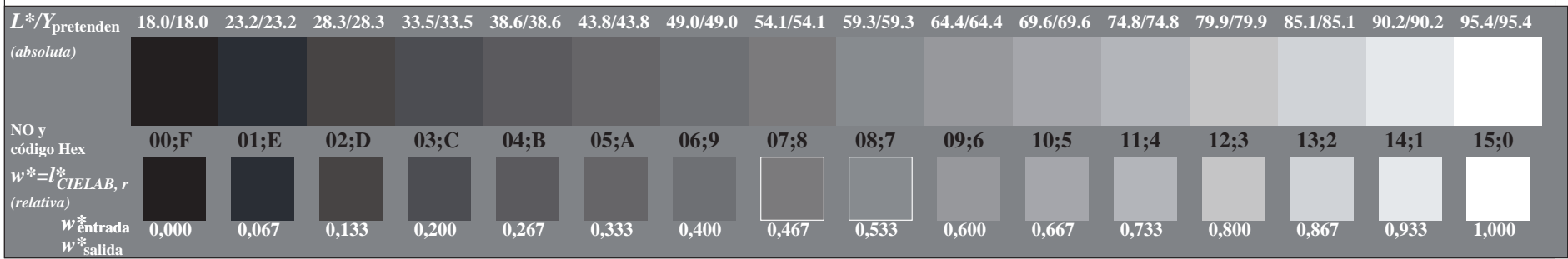


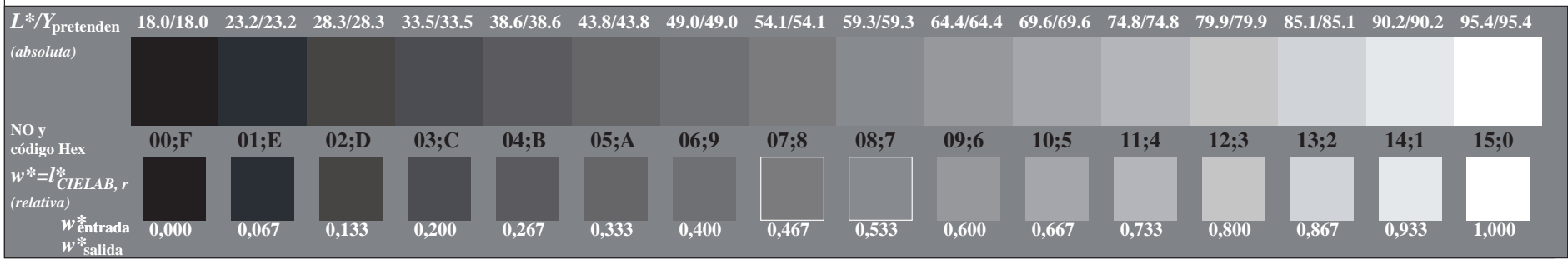
RS980-7, Fig. A3 Wd0130-10 C: 16 equidistante L^* pasos de gris; PS operator: w^* setgray

L^*/Y_{entrada} (absoluta)	18.0/2.5	23.2/3.8	28.3/5.6	33.5/7.8	38.6/10.5	43.8/13.7	49.0/17.6	54.1/22.1	59.3/27.3	64.4/33.3	69.6/40.2	74.8/47.9	79.9/56.5	85.1/66.2	90.2/76.8	95.4/88.6
NO y código Hex	00;F	01;E	02;D	03;C	04;B	05;A	06;9	07;8	08;7	09;6	10;5	11;4	12;3	13;2	14;1	15;0
$w^* = L^*_{\text{CIE LAB}, r}$ (relativa)	0,000	0,067	0,133	0,200	0,267	0,333	0,400	0,467	0,533	0,600	0,667	0,733	0,800	0,867	0,933	1,000
w^*_{entrada}	0,000	0,067	0,133	0,200	0,267	0,333	0,400	0,467	0,533	0,600	0,667	0,733	0,800	0,867	0,933	1,000

RS980-7, Fig. A3 W01E150-ff0 C: 16 equidistante L^* pasos de gris; PS operator: w^* setgray



RS980-7, Fig. A3 W-110-50 No C: 16 equidistante L^* pasos de gris; PS operator: w^*_{setgray}



RS980-7, Fig. A3 Web 11.0 - 11.0 C: 16 equidistante L^* pasos de gris; PS operator: w^*_{setgray}